

報 文
화 학 공 학 제 12 권 제 4 호
HWAHAK KONGHAK
J. of the KOREAN INST. CHEM. ENGRS.
Vol. 12, No. 4 August 1974

Bis(2-ethylhexyl) phthalate合成의 速度論(II) —黃酸觸媒 反應—

金 鎭 —

漢陽大學校 工科大學 化學工學科

(접수 74. 6. 24)

Kinetics of Bis(2-ethylhexyl) phthalate Synthesis (II) Sulfuric Acid-Catalytic Reaction

Jin-II Kim

Department of Chemical Engineering, College of Engineering
Hanyang University, Seoul, Korea

요 약

Mono(2-ethylhexyl) phthalate 와 2-ethyl hexanol 의 反應에 의한 bis(2-ethylhexyl) phthalate 合成에서 黃酸을 觸媒로 使用했을 경우의 反應速度를 測定하여 反應機構을 究明하였다.

黃酸觸媒使用時 위 反應에서의 反應次數는 mono(2-ethylhexyl) phthalate 에 관하여 1次이고 2-ethyl hexanol 에 관하여도 1次이며 따라서 全次數는 2次이었다.

이 反應의 活性化에너지 값은 13 kcal/mole 이었다.

黃酸觸媒의 濃度 및 反應溫度에 따르는 反應速度定數는 다음式으로 表示할 수 있었다.

$$k = (3 \times 10^3 + 1.5 \times 10^6 C_C) e^{-13000/RT}$$

또한 약간의 反應機構에 대한 考察을 행하였다.

Abstract

Chemical kinetic study for the esterification of mono(2-ethylhexyl) phthalate with 2-ethyl hexanol was carried out to find the reaction mechanism when sulfuric acid was used as the catalyst.

Experimental results gave a rate equation which was first order for both mono(2-ethylhexyl) phthalate and 2-ethyl hexanol. Activation energy value of 13 kcal per mole was obtained by the plot of temperature dependence of the rate equation.

The rate constant was expressed as a function of catalyst concentration and reaction temperature by the following equation.

$$k = (3 \times 10^3 + 1.5 \times 10^6 C_C) e^{-13000/RT}$$

Some discussion of the catalytic reaction mechanism was also given.

緒 論

前報¹⁾에서는 無觸媒時의 mono(2-ethylhexyl) phthalate 와 2-ethyl hexanol로부터 bis(2-ethylhexyl) phthalate 를 合成할 때의 反應速度에 관하여 報告하였다.

前報에서 이미 말한 바와 같이 無水フタル酸과 2-ethyl hexanol^{2~7)} 사이의 反應에 관한 研究는 많으나 이들 研究中에서 특히 反應速度論의 것은 거의 찾아 볼 수 없었다. 겨우 찾아 볼 수 있었던 反應速度研究로서는 無水フタル酸과 2-ethyl hexanol 이 아닌 다른 알코올을 取扱한 것이 있다. 즉 Berman⁸⁾ 등은 黃酸觸媒下에서 n-부탄을과 無水フタル酸의 反應에서 n-부탄을을 過量으로 使用할 경우 反應次數는 monobutyl phthalate 的 濃度에 관하여 2次이라고 報告하였고 van der Zeeuw⁹⁾는 역시 黃酸觸媒下에서 n-부탄을로부터 n-decanol 까지의 混合 알코올과 無水フタル酸의 monoester 사이의 反應에서 알코올을을 過量으로 사용할 경우 反應次數는 monoester 濃度에 관하여 次이라고 報告하였다.

本研究에서는 無水フタル酸과 2-ethyl hexanol의 觸媒存在下에서의 分子運動을 살피기 위하여 反應速度를 測定하여 反應次數를 決定하고 反應機構를 究明하여 實驗的 事實에 의한 타당性을 檢討함과 아울러 前報에 報告된 無觸媒時의 反應에서의 speed論의 數値와 比較検討¹⁰⁾ 한다.

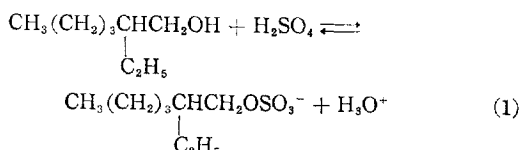
實 驗

1. 試藥：黃酸은 日本和光製化學用 1級으로 比重 1.839, 97%의 것이며 기타 試藥은 前報¹⁾에서와 같다.

2. 黃酸觸媒에 의한 bis(2-ethylhexyl) phthalate의 合成：前報¹⁾에서와 같이 無水フタル酸과 2-ethyl hexanol을 反應시켜 mono(2-ethylhexyl) phthalate (以下 monoester과 함)를 合成하여 이를 確認한 후 monoester一定量과 2-ethyl hexanol 및 黃酸의 所定量을 6 mm^φ × 150 mm의 유리管으로 단든 앰풀에 넣어 密封하고 一定溫度로 維持되어 있는 恒溫油浴內에서 加熱反應시켜 一定時間이 經過함에 따라 이 앰풀을 끼내어 急冷하여 反應을 中斷시킨 후 앰풀을 깨어 反應物 約 1.5 g을 精秤하여 아세톤 20 ml에 均一하게 溶解시키고 phenolphthalein 指示藥에 의하여 1/10 N苛性소오다 水溶液으로滴定하여 酸價를 測定하고 이

酸價로부터 bis(2-ethylhexyl) phthalate(이하 diester라 함)의 生成量을 計算하였다. 實驗溫度範圍는 120~180 °C이며, monoester와 2-ethyl hexanol의 몰比는 1:4~1:9의範圍이고, 黃酸觸媒의濃度範圍는 0.1~1%이다.

3. 遊離酸度의補正：反應物中에 존재하는 monoester의 遊離酸度를 補正¹⁰⁾하여야 한다. 反應物中의 黃酸觸媒는 共存하는 2-ethyl hexanol과 反應하여 2-ethylhexyl monosulfate를 生成하고 平衡에 到達함으로 系中의 이 2-ethylhexyl monosulfate의 量은 一定하다.



(1)式과 같이 反應系中에서의 2-ethyl hexanol과 黃酸과의 反應을 考慮하여 補正할 黃酸의 絶보기當量을 알기 위하여 다음과 같이 하였다. 즉前述한 diester의 生成反應實驗과 同一한 方法으로 하되 一定量의 2-ethyl hexanol과 一定量의 黃酸만을 앰풀에 넣어 恒溫油浴內에서 溫度範圍 120~180 °C에서 反應시켜 1/10 N苛性소오다 水溶液으로滴定하고 이로부터 2-ethylhexyl sulfuric acid와 黃酸의 平衡混合物이 있어서의滴定當量무게 Eq를 다음 式에 의하여 구하였다.

$$Eq = (49.04)(100)/100 - \frac{P_1}{2} \quad (2)$$

Table 1에 2-ethyl hexanol과 黃酸과의 反應의 結果를 表示하였다. 2-ethyl hexanol과 黃酸의 反應은 각 實驗溫度에는 관계없이 約 2분 후에는 平衡에 도달되었으며 補正할 黃酸의 絶보기當量은 平均 86이었다.

結果 및 考察

Table 2에 monoester와 2-ethyl hexanol이 黃酸觸媒下에서 反應할 때의 結果를 表示하였다.

이 結果들을 通じ可能한 反應機構에 대한 反應次數와 比較検討한 결과 黃酸觸媒存在下에서의 monoester와 2-ethyl hexanol의 反應機構 및 反應速度는 다음과 같이 생각할 수 있었다.

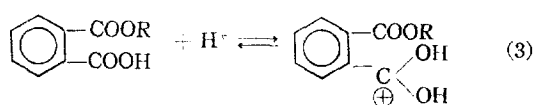


Table 1. Reaction of 2-ethyl hexanol and sulfuric acid (0.378 % H₂SO₄)

Temp. (°C)	Time (min)	Sample (g)	Equivalent of 1 N NaOH (mL)	Original H ₂ SO ₄ (m-mole)	Remaining H ₂ SO ₄ (m-mol)	Combined H ₂ SO ₄ (%)	Apparent milliequivalent (m·eq)
120	1/2	1.28	0.088	0.0492	0.0388	21.2	54.9
	1	1.46	0.075	0.0563	0.0187	66.9	73.7
	2	1.38	0.063	0.0532	0.0098	81.7	82.9
	20	1.32	0.061	0.0507	0.0103	79.7	81.5
	30	1.77	0.077	0.0682	0.0088	87.1	86.9
	1/2	1.96	0.120	0.0756	0.0444	41.3	61.8
140	1	1.65	0.074	0.0638	0.0105	83.5	84.2
	2	1.51	0.066	0.0583	0.0768	86.8	86.7
	15	1.38	0.077	0.0705	0.0064	90.8	89.8
	20	1.80	0.078	0.0694	0.0087	87.5	87.2
	30	1.54	0.067	0.0594	0.0076	87.1	86.9
	1/2	1.79	0.104	0.0690	0.0351	49.1	65.0
155	1	1.59	0.074	0.0613	0.0129	79.0	81.1
	2	1.47	0.065	0.0568	0.0082	85.4	85.6
	5	1.57	0.074	0.0604	0.0137	77.4	80.0
	10	1.63	0.072	0.0628	0.0093	85.1	85.4
	15	1.76	0.074	0.0679	0.0061	90.9	89.9
	1/2	3.05	0.150	0.1180	0.0327	72.2	75.2
170	1	1.24	0.058	0.0480	0.0101	79.0	79.4
	2	1.45	0.067	0.0559	0.0112	80.0	80.0
	5	1.65	0.070	0.0636	0.0065	89.8	87.2
	15	1.48	0.064	0.0571	0.0070	87.7	85.6
	20	1.16	0.053	0.0448	0.0083	81.5	81.1
	1/2	1.36	0.066	0.0526	0.0135	74.3	76.5
180	1	1.59	0.077	0.0612	0.0139	77.3	78.3
	2	1.42	0.075	0.0548	0.0073	86.7	84.8
	10	1.60	0.072	0.0618	0.0103	83.3	82.4
	15	1.91	0.080	0.0735	0.0066	91.0	88.1
	20	1.31	0.058	0.0506	0.0075	85.2	83.7
	30	1.41	0.062	0.0545	0.0076	86.1	84.3

Table 2. Reaction rate equation data

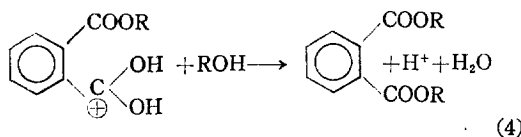
Catalyst correction [%]	Time [min]	Free acidity [%]	Actual monoester [%]	Monoester converted [mole·l ⁻¹]	$\frac{1}{C_{M_0} - C_{A_0}} \ln \frac{C_{A_0}(C_{M_0} - C_B)}{C_{M_0}(C_{M_0} - C_B)}$ [l·mole ⁻¹]
$C_C = 0.768 \times 10^{-2}$ (0.0867 %), 120 °C, $C_{A_0}/C_{M_0} = 11$, $C_{M_0} = 0.526$					
(278/86) × 0.0867 = 0.2803	2	16.1	15.8	0.015	0.0048
	5	15.9	15.6	0.021	0.0068
	10	15.9	15.6	0.022	0.0073
	15	15.5	15.2	0.034	0.0115
	20	15.2	14.9	0.044	0.0152
	30	14.4	14.1	0.069	0.0245
	40	14.2	13.9	0.077	0.0275
	60	13.1	12.8	0.110	0.0410
	90	11.9	11.6	0.151	0.0592

Catalyst correction (%)	Time [min]	Free acidity [%]	Actual monoester [%]	Monoester converted [mole·l ⁻¹]	$\frac{1}{C_{M0}-C_{A0}} \ln \frac{C_{A0}(C_{M0}-C_B)}{C_{M0}(C_{M0}-C_B)}$ [l·mole ⁻¹]
(278/86) × 0.0937 = 0.303	120	10.9	10.6	0.182	0.0744
		$C_c = 0.86 \times 10^{-2}$ (= 0.0937 %), 120 °C, $C_{A0}/C_{M0} = 4$, $C_{M0} = 1.13$			
	2	34.3	34.0	0.026	0.0050
	10	33.3	33.0	0.060	0.0124
	15	32.6	32.3	0.083	0.0174
	20	32.1	31.8	0.100	0.0208
	30	30.0	29.7	0.166	0.0362
	40	29.1	28.8	0.195	0.0429
	60	27.2	26.9	0.258	0.0594
	90	24.4	24.1	0.347	0.0850
	120	22.6	22.3	0.405	0.1038
		$C_c = 1.46 \times 10^{-2}$ (= 0.159 %), 120 °C, $C_{A0}/C_{M0} = 5.01$, $C_{M0} = 0.968$			
(278/86) × 0.159 = 0.514	5	29.1	28.6	0.042	0.0092
	10	28.7	28.2	0.055	0.0210
	15	27.1	26.6	0.107	0.0243
	20	26.2	25.7	0.136	0.0315
	30	23.8	23.3	0.216	0.0502
	40	22.7	22.2	0.250	0.0630
	60	20.5	20.0	0.324	0.0836
	90	17.6	17.1	0.415	0.1211
	120	15.4	14.9	0.486	0.1633
		$C_c = 2.49 \times 10^{-2}$ (= 0.272 %), 120 °C, $C_{A0}/C_{M0} = 4$, $C_{M0} = 1.13$			
	(278/86) × 0.272 = 0.879	2	34.2	33.3	0.048
		5	33.4	32.5	0.076
		10	31.3	30.4	0.144
		15	29.3	28.4	0.209
		20	27.3	26.4	0.272
		30	25.4	24.5	0.333
		40	22.8	21.9	0.417
		60	19.4	18.5	0.528
		90	16.1	15.2	0.634
		120	13.6	12.7	0.716
			$C_c = 4.59 \times 10^{-2}$ (0.500 %), 120 °C, $C_{A0}/C_{M0} = 4$, $C_{M0} = 1.13$		
(278/86) × 0.500 = 1.62	2	32.9	31.3	0.115	0.0240
	5	31.2	29.6	0.169	0.0366
	10	29.0	27.4	0.241	0.0549
	15	26.7	25.1	0.316	0.0756
	20	24.7	23.1	0.380	0.0955
	30	21.5	19.9	0.482	0.1316
	40	19.3	17.7	0.554	0.1611
	60	15.9	14.3	0.665	0.2165
	90	12.7	11.1	0.768	0.2826
	120	10.8	9.12	0.832	0.3354
		$C_c = 4.59 \times 10^{-2}$ (= 0.500 %), 120 °C, $C_{A0}/C_{M0} = 6$, $C_{M0} = 0.841$			
(278/86) × 0.500 = 1.62	2	24.8	23.2	0.099	0.0251
	5	24.6	23.0	0.105	0.0267
	10	22.2	20.6	0.183	0.0496
	15	20.6	19.0	0.234	0.0663
	20	19.7	18.1	0.262	0.0762

Catalyst correction (%)	Time {min}	Free acidity (%)	Actual monoester (%)	Monoester converted {mole·l ⁻¹ }	$\frac{1}{C_{M0}-C_{A0}} \ln \frac{C_{A0}(C_{M0}-C_B)}{C_{M0}(C_{M0}-C_B)}$ [l·mole ⁻¹]
	30	17.6	16.0	0.331	0.1027
	40	15.9	14.3	0.384	0.1262
	60	13.1	11.5	0.472	0.1727
	90	10.2	8.6	0.567	0.2383
	120	8.3	6.7	0.626	0.2918
$C_c = 4.59 \times 10^{-2}$ (= 0.500 %), 120 °C, $C_{A0}/C_{M0} = 9$, $C_{M0} = 0.604$					
(278/86) × 0.500	2	18.7	17.1	0.067	0.0216
= 1.62	5	18.1	16.5	0.086	0.0286
	10	16.6	15.0	0.131	0.0455
	15	15.5	13.9	0.167	0.0603
	20	14.5	12.9	0.197	0.0741
	30	13.0	11.4	0.247	0.0993
	40	11.8	10.2	0.283	0.1198
	60	9.6	8.0	0.357	0.1704
	90	7.8	6.2	0.411	0.2193
	120	6.3	4.7	0.458	0.2752
$C_c = 4.73 \times 10^{-2}$ (= 0.516 %), 120 °C, $C_{A0}/C_{M0} = 4$, $C_{M0} = 1.13$					
(278/86) × 0.516	2	34.8	33.1	0.054	0.0108
= 1.69	10	29.8	28.1	0.216	0.0484
	15	26.8	25.1	0.313	0.0746
	20	24.8	23.1	0.379	0.0951
	40	19.1	17.4	0.564	0.1657
	60	15.5	13.8	0.681	0.2250
	90	12.0	10.3	0.794	0.3021
	120	9.9	8.2	0.861	0.3640
	180	7.8	6.1	0.928	0.4437
	240	6.3	4.6	0.979	0.5274
$C_c = 9.34 \times 10^{-2}$ (= 1.02 %), 120 °C, $C_{A0}/C_{M0} = 4$, $C_{M0} = 1.13$					
(278/86) × 1.02	5	31.2	27.9	0.213	0.0477
= 3.297	10	26.7	23.4	0.358	0.0891
	15	23.0	19.7	0.481	0.1311
	20	20.1	16.8	0.576	0.1709
	30	17.0	13.7	0.679	0.2245
	40	14.3	11.0	0.688	0.2295
	60	10.8	7.6	0.882	0.3860
	90	7.7	4.4	0.983	0.5346
	120	6.9	3.6	1.010	0.5942
$C_c = 0.768 \times 10^{-2}$ (= 0.0867 %), 140 °C, $C_{A0}/C_{M0} = 11$, $C_{M0} = 0.527$					
(278/86) × 0.0867	2	16.4	16.1	0.004	0.0014
= 0.280	5	16.0	15.7	0.019	0.0064
	10	15.5	15.2	0.035	0.0119
	15	14.6	14.3	0.063	0.0219
	20	14.2	13.9	0.076	0.0269
	30	12.9	12.6	0.118	0.0448
	40	12.2	11.9	0.142	0.0551
	60	10.6	10.3	0.194	0.0806
	90	9.0	8.7	0.244	0.1097
	120	6.9	6.6	0.313	0.1568

Catalyst correction [%]	Time [min]	Free acidity [%]	Actual monoester [%]	Monoester converted [mole·l ⁻¹]	$\frac{1}{C_{M0}-C_{A0}} \ln \frac{C_{A0}(C_{M0}-C_B)}{C_{M0}(C_{M0}-C_B)}$ [l·mole ⁻¹]
$C_c = 1.46 \times 10^{-2}$ (= 0.159 %), 140 °C, $C_{A0}/C_{M0} = 5.01$, $C_{M0} = 0.968$					
(278/86) × 0.159 = 0.514	2	29.7	29.2	0.023	0.0049
	5	29.1	28.6	0.043	0.0094
	10	27.4	26.9	0.098	0.0212
	15	26.0	25.5	0.145	0.0343
	20	23.3	22.8	0.230	0.0572
	30	20.5	20.0	0.321	0.0861
	40	18.0	17.5	0.403	0.1162
	60	13.8	13.3	0.539	0.1791
	90	10.2	9.7	0.655	0.2533
	120	7.6	7.1	0.738	0.3279
$C_c = 0.768 \times 10^{-2}$ (= 0.0867 %), 155 °C, $C_{A0}/C_{M0} = 11$, $C_{M0} = 0.527$					
(278/86) × 0.0867 = 0.280	2	16.2	15.9	0.012	0.0040
	5	15.7	15.4	0.029	0.0099
	10	14.0	13.7	0.082	0.0294
	15	12.7	12.4	0.125	0.0471
	20	11.9	11.6	0.150	0.0585
	30	10.1	9.8	0.209	0.0891
	40	8.6	8.3	0.259	0.1198
	60	6.1	5.8	0.338	0.1837
	90	4.1	3.8	0.402	0.2601
	120	3.3	3.0	0.430	0.3607
$C_c = 1.46 \times 10^{-2}$ (= 0.159 %), 155 °C, $C_{A0}/C_{M0} = 5.01$, $C_{M0} = 0.968$					
(278/86) × 0.159 = 0.514	2	29.3	28.8	0.038	0.0011
	5	26.9	26.4	0.113	0.0259
	10	22.2	21.7	0.268	0.0687
	15	18.3	17.8	0.394	0.1126
	20	16.5	16.0	0.452	0.1364
	30	11.7	11.2	0.607	0.2191
	40	9.7	9.2	0.672	0.2668
	60	6.4	5.9	0.778	0.3731
	90	5.2	4.7	0.816	0.4292
	120	4.6	4.1	0.835	0.4626
$C_c = 0.768 \times 10^{-2}$ (= 0.0867 %), 170 °C, $C_{A0}/C_{M0} = 11$, $C_{M0} = 0.527$					
(278/86) × 0.0867 = 0.280	5	16.0	15.7	0.019	0.0064
	10	13.3	13.1	0.104	0.0384
	15	12.4	12.1	0.136	0.0518
	20	10.5	10.3	0.195	0.0812
	30	7.2	6.9	0.303	0.1524
	40	6.7	6.4	0.320	0.1665
	60	4.4	4.1	0.394	0.2479
	90	2.6	2.3	0.451	0.3527
	120	1.7	1.4	0.480	0.4658
$C_c = 1.46 \times 10^{-2}$ (= 0.159 %), 170 °C, $C_{A0}/C_{M0} = 5.01$, $C_{M0} = 0.968$					
(278/86) × 0.159 = 0.514	2	29.6	29.1	0.028	0.0058
	5	27.5	27.0	0.095	0.0215
	10	21.3	20.8	0.296	0.0778
	15	16.7	16.2	0.445	0.1337

Catalyst correction (%)	Time [min]	Free acidity [%]	Actual monoester [%]	Monoester converted [mole·l ⁻¹]	$\frac{1}{C_{M_0}-C_{A_0}} \ln \frac{C_{A_0}(C_{M_0}-C_B)}{C_{M_0}(C_{M_0}-C_B)}$ [l·mole ⁻¹]
	20	13.5	13.0	0.549	0.1846
	30	9.6	9.1	0.674	0.2685
	40	6.8	6.3	0.765	0.3573
	60	4.5	4.0	0.838	0.4675
	90	3.8	3.3	0.862	0.5197
	120	3.7	3.2	0.865	0.5253
$C_C = 0.768 \times 10^{-2}$ (= 0.0867 %) 180 °C, $C_{A_0}/C_{M_0} = 11$, $C_{M_0} = 0.527$					
$(278/86) \times 0.0867$ = 0.280	2	15.5	15.2	0.036	0.0122
	5	14.6	14.3	0.064	0.0226
	10	11.5	11.2	0.163	0.0647
	15	9.5	9.2	0.228	0.1002
	20	7.9	7.6	0.281	0.1350
	30	5.8	5.5	0.349	0.1940
	40	3.9	3.5	0.411	0.2742
	60	2.5	2.2	0.456	0.3640
	90	1.5	1.2	0.486	0.4696
	120	1.3	1.0	0.494	0.5096
$C_C = 1.46 \times 10^{-2}$ (= 0.159 %), 180 °C, $C_{A_0}/C_{M_0} = 5.01$, $C_{M_0} = 0.968$					
$(278/86) \times 0.159$ = 0.514	2	28.9	28.4	0.051	0.0110
	5	25.2	24.7	0.169	0.0403
	10	18.7	18.2	0.380	0.1701
	15	13.4	12.8	0.552	0.1859
	20	9.4	8.9	0.680	0.2734
	30	6.3	5.8	0.781	0.3786
	40	5.1	4.6	0.820	0.4361
	60	3.9	3.4	0.858	0.5102
	90	3.4	2.9	0.874	0.5484
	120	3.3	2.8	0.879	0.5640



但 R는 $C_4H_9CH(C_2H_5)CH_2$ -기를 표시한다.

Monoester의 카르보닐기가 쉽게 푸로톤을 취하여平衡에 도달될 수 있기 때문에 (3)式은 다음의平衡式이 된다.

$$K = \frac{C_{MH^+}}{C_{H^+}(C_{M_0}-C_B-C_{MH^+})} \quad (5)$$

따라서 (4)式이 이 반응의 속도를 결정한다고 볼 수 있으므로 반응速度式은 다음과 같이 된다.

$$\frac{dC_B}{dt} = k'C_{MH^+}(C_{A_0}-C_B) \quad (6)$$

(5)式을 (6)에 대입하면

$$\frac{dC_B}{dt} = Kk'C_{H^+}(C_{M_0}-C_B)(C_{A_0}-C_B)/(1+KC_{H^+}) \quad (7)$$

$KC_{H^+} \ll 1$ 이고 $C_{H^+} \approx 2C_C$ 라면

$$\begin{aligned} \frac{dC_B}{dt} &= \frac{1}{2} Kk'C_C(C_{M_0}-C_B)(C_{A_0}-C_B) \\ &\approx k''C_C(C_{M_0}-C_B)(C_{A_0}-C_B) \end{aligned} \quad (8)$$

따라서

$$k''C_C t = kt = \frac{1}{C_{M_0}-C_{A_0}} \ln \frac{C_{A_0}}{C_{M_0}} \cdot \frac{(C_{M_0}-C_B)}{(C_{A_0}-C_B)} \quad (9)$$

한편 實驗 테이터로부터 黃酸의 濃度가 0.159 %이고 monoester와 2-ethyl hexanol의 몰비가 1:5인 경우에 (9)式을 Fig. 1에 플로트하였다.

Fig. 1에서 보는 바와 같이 좋은 直線이 얻어지므로 (6)式이 잘適用됨을 알 수 있다. 따라서 앞에서 假定한 反應機構中 monoester와 푸로톤의 反應은 대단히 빠른 平衡이며 反應速度를 支配하는 것은 (4)式이라고 할 수 있다.

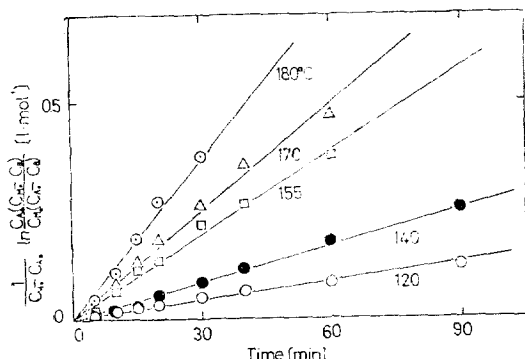


Fig. 1. Plot of equation (9) for the case of $C_{A_0}/C_{M_0} = 5$ and $C_C = 1.46 \times 10^{-3}$.

즉,一般的인 에스테르화反應에서처럼 黃酸에서 생긴 푸로톤이 monoester의 칼복실기에 受容되며 이것이 알코올과 錯物을 만드는 것이 速度를 支配한다고 볼 수 있다. 따라서 (4)式의 反應은 다음과 같이 進行 되리라 생각된다.

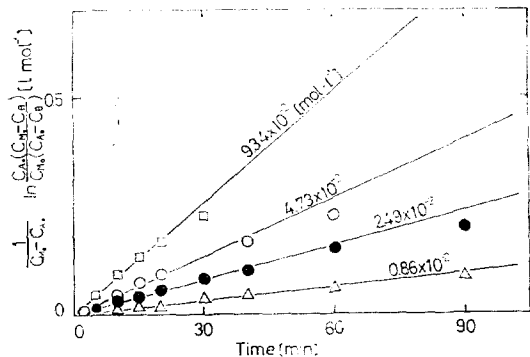
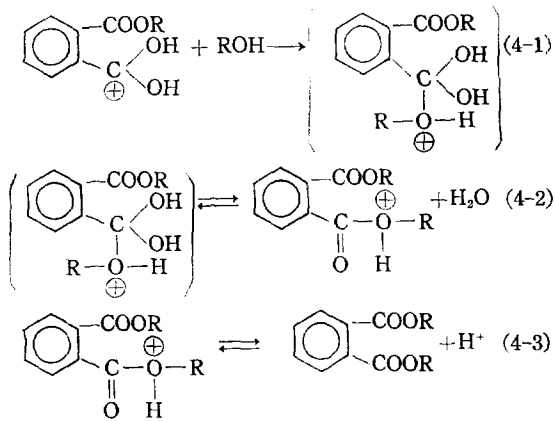


Fig. 2. Plot of equation (9) with variation of catalyst concentration for the case of 120°C and $C_{\text{AO}}/C_{\text{Mo}} = 4$.

反應溫度가 120°C 이고 黃酸觸媒의 濃度를 달리했을 때의 結果를 Fig. 2에 表示하였다.

여기서 보면觸媒의濃度가增加함에 따라反應速度는 상승하며 모든 점이 거의直線上에 있는 것으로 보아 diester의生成反應에 있어反應次數는 monoester에 대해 1次이며 2-ethyl hexanol에 대해 1次로서全次數가 2次이다. 또한 monoester와 2-ethyl hexanol의摩比를變化시키고黃酸觸媒濃度는 0.5%로一定히하여反應溫度 120°C에서反應시킨結果를 Fig. 3에 표시하였다.

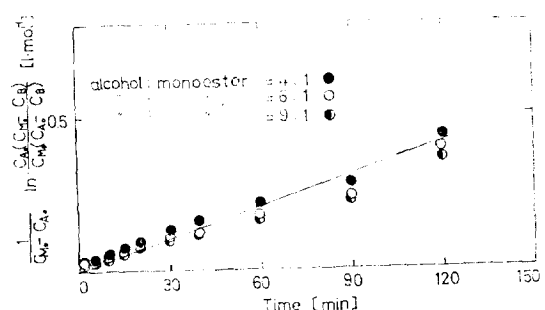


Fig. 3. Plot of equation (9) with variation of C_{A_0}/C_{M_0} for the case of $120^\circ C$ and $C_C = 4.59 \times 10^{-2}$.

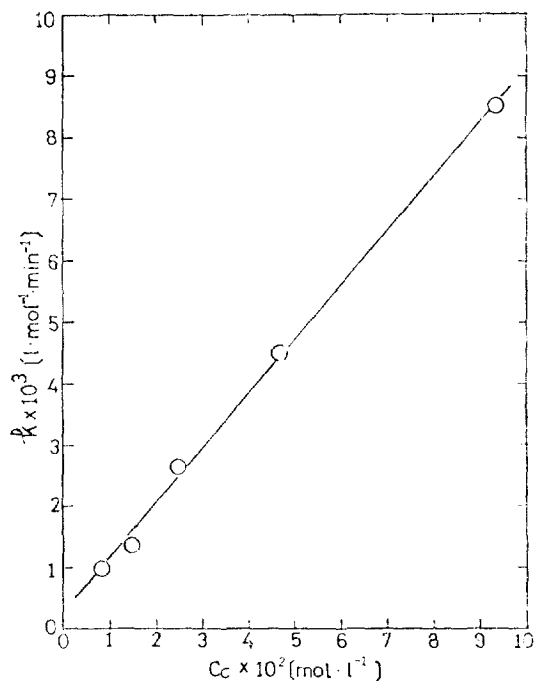


Fig. 4. Catalyst concentration dependence of rate constant.

여기서 보면 monoester와 2-ethyl hexanol의 물비의變化에는 관계 없이 한直線上에 있다는 것은 이反應機構의假定의 타당성을 보여 주고 있다.

Monoester對 2-ethyl hexanol의 물비가 1:4 일 때의黃酸觸媒의濃度變化에 대한 k 값을 Fig. 4에 플로트하였는데 좋은 직선이 얻어졌다.

이結果로부터 Arrhenius 플로트한것이 Fig. 5이다. 여기서 求한活性化에너지값이 13 kcal/mole이며 이값은無觸媒에서의活性化에너지값 18 kcal/mole에

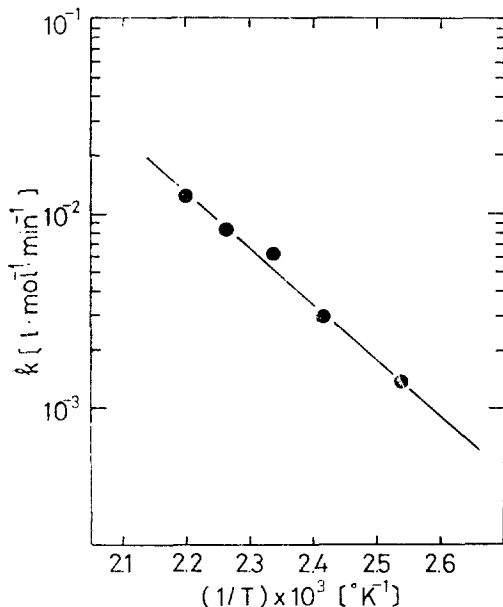


Fig. 5. Temperature dependence of rate constant.

비하면 5 kcal/mole 적은 것이다.

速度定數와觸媒濃度 및反應溫度의 관계를 알기 위하여 Fig. 6에 $k/e^{-13000/RT}$ 를縱軸에 酸觸濃度를橫軸에 플로트하였으며 좋은直線이 뛰으로 다음과식이 成立한다.

$$k = (3 \times 10^3 + 1.5 \times 10^6 C_C) e^{-13000/RT} \quad (10)$$

따라서 황산은 정량적으로 촉매 반응에 관여 함을 알 수 있다.

結論

黃酸을觸媒로使用하여 monoester로부터 2-ethyl hexanol에 의하여 diester이 생길때 速度式은 monoester와 알코올에 대하여 모두 1次로 表示된다.

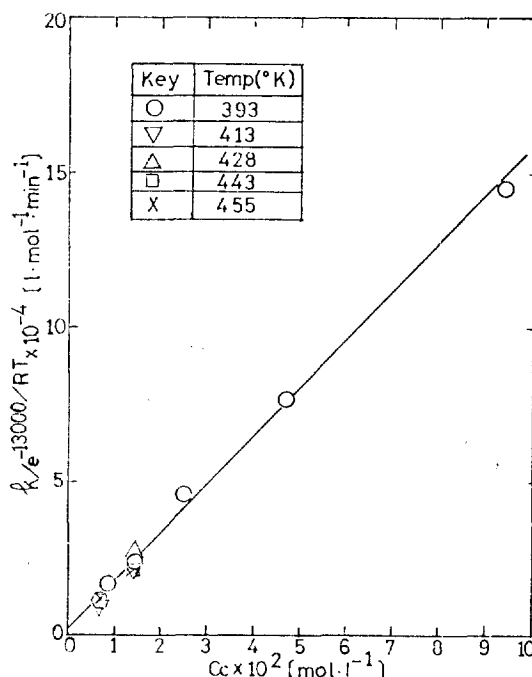


Fig. 6. $k/e^{-13000/RT}$ vs. catalyst concentration.

이式으로부터 얻어진活性화에너지값은 13 kcal/mole로서無觸媒의 18 kcal/mole보다 5 kcal/mole 적었다.

이反應의速度定數는溫度가一定할 때觸媒濃度에比例하며 본연구의使用觸媒濃度範圍에서는黃酸으로부터 주어지는 푸로톤이反應에 정량적으로關與한다.

Nomenclature

- A: Weight of sample [g]
- C_{A_0} : Initial concentration of 2-ethyl hexanol [$mol \cdot l^{-1}$]
- C_B : Concentration of bis(2-ethylhexyl) phthalate [$mol \cdot l^{-1}$]
- C_C : Concentration of sulfuric acid catalyst [$mol \cdot l^{-1}$]
- C_{H^+} : Concentration of hydrogen ion [$mol \cdot l^{-1}$]
- C_{M_0} : Initial concentration of mono(2-ethylhexyl) phthalate [$mol \cdot l^{-1}$]
- C_{MH^+} : Concentration of protonated mono(2-ethylhexyl) phthalate [$mol \cdot l^{-1}$]
- Eq : Apparent milliequivalent to correct [$m \cdot eq$]
- k : $k = 2C_C k' K$ [$l \cdot mol^{-1} \cdot min^{-1}$]
- k' : Rate constant in equation (6) [$l \cdot mol^{-1} \cdot min^{-1}$]

$k'' = 2k'K$ [$l^2 \cdot mol^{-2} \cdot min^{-1}$]	N_1 : Titration equivalent weight of 1N NaOH aq.
K : Equilibrium constant for equation (3) [$l \cdot mol^{-1}$]	solution used $N_1 = N_2 L$ [$m \cdot mol$]
L : Volume of consumption of 1N NaOH aq. solution for the titration [ml]	N_2 : Normality of 1N NaOH aq. solution used for the titration [N]
M_1 : Moles of orginal sulfuric acid in sample $M_1 = AP_2/9.808$ [$m \cdot mol$]	P_1 : Percentage of sulfuric acid combined $P_1 = (M_1 - M_2) 100/M_1$ (%)
M_2 : Moles of remaining sulfuric acid in sample $M_2 = N_1 - M_1$ [$m \cdot mol$]	P_2 : Percentage of total sulfuric acid in sample (%)

Literature Cited

1. J. I. Kim, *화학공학*, **12**(4), (1974)
2. A. I. Kutepova, S. M. Lokte, N. I., Grishko and O. A. Shtekker, *Plast. Massy*, **No. 5**, 47 (1967)
3. C. Rehfuss, (Allied Chemical Corp.) *U.S. 3,053,884* (1962)
4. 古川周, 成智聖司, 千葉大工研報, No. 13, 23 (1962)
5. F. X. Weber, (B.F. Goodrich Co.), *Ger. 1,083,265* (1960)
6. A. I. Kutsenko, L. M. Bolotine and S. D. Soinev, *Plast. Massy*, **No. 1**, 23(1971)
7. U. Roje and S. Trumbic, *Kem. Ind. (Zagreb)*, **15**(11), 677(1966)
8. S. Berman, A. A. Melnyehunk and D. F., Othmer, *Ind. Eng. Chem.*, **40**, 1312 (1948)
9. A. J. van der Zeeuw, *Chem. Ind. (London)*, **978**, (1969)
10. C. E. Leyes and D. F. Othmer, *Ind. Eng. Chem.* **37**(10), 968(1945)